

СКАЧКИ РАДИОЭЛЕКТРИЧЕСКОГО ТОКА В ВИСМУТЕ

Г. И. Левцев, Э. Г. Ящин

При изучении процессов установления РЭЭ в висмуте ($4,2^{\circ}\text{K}$) на осциллограмме обнаружен скачок, возникающий в присутствии постоянного магнитного поля, при достижении порогового значения СВЧ мощности.

В настоящее время большое внимание уделяется теоретическому исследованию [1 – 4] вклада различных механизмов нелинейности в радиоэлектрический эффект¹⁾ (РЭЭ). Мы предприняли попытку исследовать процессы установления РЭЭ в монокристалле Bi при $4,2^{\circ}\text{K}$ и в присутствии постоянного магнитного поля (H_0). В отличие от опытов, проводимых в стационарном режиме [5, 6], у нас использовалась импульсная ($\tau_{\text{и}} = 2 - 10 \text{ мксек}$) методика. Это позволило существенно увеличить мощность P (в импульсе), избежав среднего разогрева.

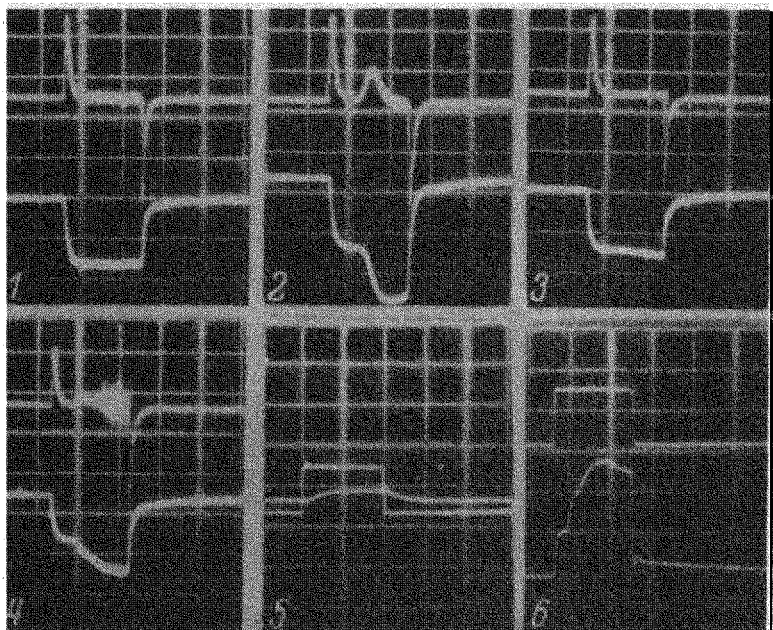


Рис. 1. Осциллограммы РЭЭ при различных величинах H_0 . Малое деление на оси абсцисс – $0,5 \text{ мксек}$

Образец в форме диска ($\phi = 1,8 \text{ см}$, толщина $d = 0,2 \text{ см}$) выращивался в разборной форме [6] из исходного материала Bi-0000 . Образец служил торцевой стенкой медного прямоугольного резонатора TE_{101} , согласованного с волноводом при $H_0 = 0$. Наибольшее значение пере-

¹⁾ РЭЭ – возникновение в металле постоянной ЭДС (или тока), пропорциональной СВЧ мощности.

менного поля H на образце достигало 50 э , что при добротности $Q = 2000$ требовало мощности порядка 3 кВт . Сигнал РЭЭ снимался с катушки и с контактов. Катушка (20 витков, размеры $\sim 1 \text{ см}$) помещалась вблизи образца вне резонатора, контакты прижимались по образующей диска (образец 1) или приваривались на внешней стороне V_i (образец 2). Величина РЭЭ напряжения на сварных контактах достигала нескольких вольт, а на катушке десятков мВ . На рис. 1 (кадры 1–6) приведены типичные осциллограммы. Сигнал РЭЭ изображен на всех кадрах внизу, верхняя кривая на кадрах 1–4 сигнал производного РЭЭ, снимаемый с катушки, а на кадрах 5,6–импульс СВЧ генератора (с детектора). Осциллограммы 1–4 относятся к образцу 1 со следующей ориентацией: C_3 идет почти (7°) по нормали к поверхности, $C_2 \parallel E$, вдоль измеряемого РЭЭ. (E – касательная к образцу компонента СВЧ поля). Образец 2 ориентирован косо.

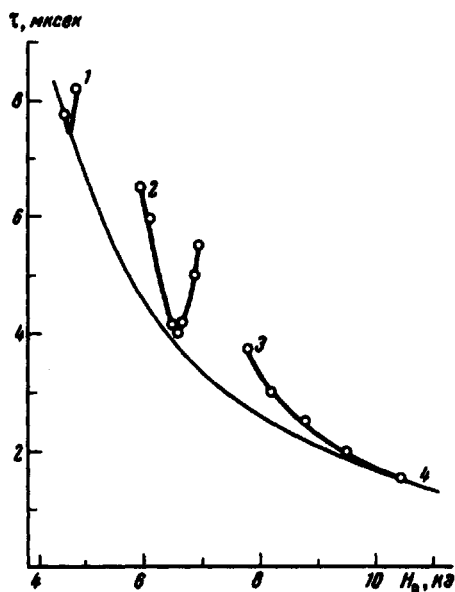


Рис. 2. Зависимость $\tau(H_0)$ при $\phi = \pi/2$ (образец 1) 1, 2, 3 – три области существования скачка, 4 – зависимость H_0^{-2}

Кадр 1 сделан при относительно малом магнитном поле ($H_0 \sim 4 \text{ кэ}$). Сигнал РЭЭ почти повторяет форму импульса СВЧ. Однако, видна некоторая "затяжка" РЭЭ, это хорошо видно на кадрах 5 ($H_0 \sim 50 \text{ э}$) и 6 ($H_0 \sim 6 \text{ кэ}$). С ростом H_0 сигнал существенно искажается (кадр 2). Появляется скачок, начало которого на несколько (τ) мксек отстает от начала импульса РЭЭ. Зависимость $\tau(H_0)$ не монотонна. На рис. 2 цифрами 1, 2 (см. кадр 2), 3 (см. кадр 4) помечены три области резко выраженного скачка. Между областями скачок существенно падает по амплитуде и измерять τ – трудно (см. кадр 3). Огибающая скачка – не гладкая, это хорошо видно в области 3 (кадр 4) по сигналу производной (за пиком, соответствующим скачку следует вспышка шума). Имеется особенность и на спаде РЭЭ при наличии скачка. Спад скачка происходит на много резче спада РЭЭ (см. сигнал производной на кадре 3). Кроме того, в образце 2 наблюдается немонотонность спада РЭЭ (кадр 6).

РЗЭ зависит от угла поворота поля H_0 в плоскости образца. Эта зависимость для образца 1 грубо повторяет $\sin \phi$ (ϕ угол между H_0 и E). В районе максимума РЗЭ скачки существуют в довольно широкой области по ϕ ($\sim 30^\circ$). Есть еще очень узкие ($5 + 10^\circ$) области, симметрично расположенные ($\pm \pi/3$) от $\phi = \pi/2$. Однако, в них отсутствует область 1 ($H_0 \sim 4,5 \text{ кэ}$). Все три значения ϕ ($\pi/2, \pi/2 \pm \pi/3$) приходятся на максимумы РЗЭ при температуре 78°К (нули РЗЭ находятся там же, где и при $4,2^\circ\text{К}$). Возможно, при $T = 4,2^\circ\text{К}$ в условиях существования слабозатухающих магнитоплазменных волн (МПВ) РЗЭ связан с дырками, ферми-поверхность которых изотропна по ϕ : дело в том, что проводимость и скорость v_A МПВ (ориентация образца 1) в основном определяются дырками [7]. При 78°К , когда МПВ не распространяются, РЗЭ, по-видимому, имеет и электронную компоненту, что, и проявляется в наличии трех максимумов РЗЭ при повороте H_0 . То обстоятельство, что скачки РЗЭ как-то связаны с электронами, находится в соответствии со следующим. Расстояние между минимумами на кривой $\tau(H_0)$ (рис. 2) $\Delta(H_0^{-1}) = 6 \cdot 10^{-5} \text{ э}^{-1}$ близко к соответствующему значению периода квантовых осцилляций ($7,8 \cdot 10^{-5} \text{ э}^{-1}$) [7] для легких электронов. Однако, остается непонятным очень быстрое изменение $\Delta(H_0^{-1})$ от $7 \cdot 10^{-5} \text{ э}^{-1}$ до $3,5 \cdot 10^{-5} \text{ э}^{-1}$ происходящее при повороте H_0 на угол $5 + 10^\circ$.

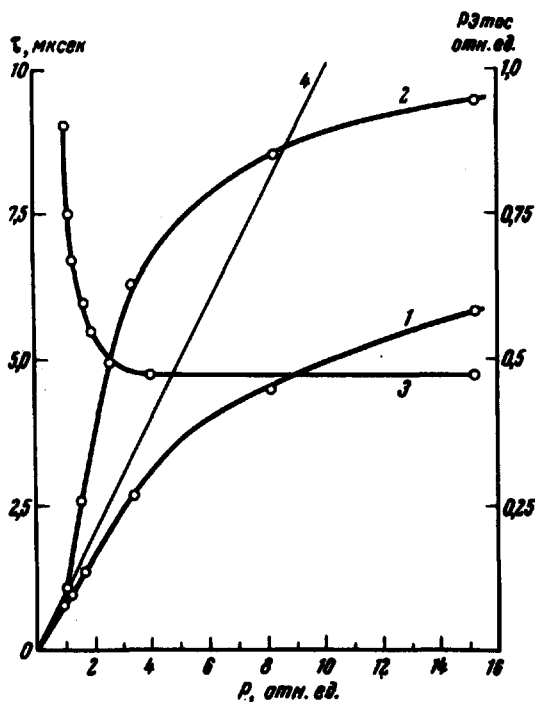


Рис. 3. Зависимость τ и РЗЭ (образец 1) от мощности при $\phi = \pi/2$, $H_0 = 6590 \text{ э}$. Кривая 1. — РЗЭ, 2 — РЗЭ на скачке, 3. — время τ , 4. — линейный закон "РЗЭ-мощность", установленный на малой мощности ($P < 20 \text{ эж}$) — соответствующие точки не поставлены

Была исследована зависимость РЗЭ и скачка от СВЧ мощности в области 2 — рис. 3. Величина РЗЭ изучалась перед скачком ($t = 5 \text{ мксек}$), а значение РЗЭ на скачке — в конце импульса ($t = 10 \text{ мксек}$). При мощности 200 эж ($H \sim 13 \text{ э}$) происходит резкий излом характеристики "ток-мощность". По-видимому, излом происходит еще круче, так как τ также зависит от мощности (кривая 3, рис. 3) и недалеко от порога

на кривой 2 отмечены не стационарные значения скачка. При мощностях, превышающих P в 3 – 4 раза P_{99} насыщаются. Возможно это связано с разогревом носителей (или решетки) во время СВЧ импульса. Об этом говорит увеличение затухания МПВ при $P \sim P_{\text{пор}}$ по сравнению с затуханием при $P \sim 0,85P_{\text{пор}}$, но при той же средней мощности. Разогрев происходит за времена, меньшие чем 2 $\mu\text{сек}$, так как характеристика "Р99-мощность" при $\tau_{\text{и}} = 2 \mu\text{сек}$ (при том же H_0) имеет тот же вид, что и кривая 1 (рис. 3). Более того, эта характеристика не меняется и при $\tau_{\text{и}} = 10 \mu\text{сек}$, но в поле H_0 , недостаточном для развития скачка. Разогрев решетки, как показывает простая оценка, при $P = P_{\text{пор}}$ и при $\tau_{\text{и}} = 5 \mu\text{сек}$, порядка $0,5^\circ\text{К}$.

В заключение укажем на некоторую аналогию вышеизложенного с работой [8], посвященной процессу установления черенковского излучения звука [9] дрейфом носителей в Bi в скрещенных E_0 и H_0 полях. Легко показать для двухзонной, изотропной модели Bi , что сила Лоренца не только приводит к постоянному Р99 вдоль E (см., например, [2]), но и постоянному дрейфу носителей вглубь полуметалла. Этот дрейф в ω_H / ω больше Р99 и для самых легких носителей при $H \sim 10 \text{ э}$ и $H_0 \sim 6 \text{ кэ}$ достигается пороговое значение скорости дрейфа (скорость звука). В работе [8] наблюдались излом вольт-амперной характеристики, квадратичная зависимость $\tau(H_0)$. Однако, у нас в отличие от [8], имеется насыщение Р99 и немонотонная зависимость $\tau(H_0)$, хотя минимумы τ неплохо укладываются на H_0^{-2} (кривая 4, рис. 2). Кроме того, мы исследовали изменение $\tau(H_0)$ при уменьшении d вдвое (травлением). Время практически не изменялось. В работе [8] τ несколько увеличивается с уменьшением d .

Институт физики твердого тела
Академии наук СССР

Поступила в редакцию
12 июля 1973 г.

Литература

- [1] Л.Э. Гуревич, А.Я. Винников. ФТТ, 15, 87, 1973.
- [2] М.И. Каганов, В.П. Пешков. ЖЭТФ, 63, 2288, 1972.
- [3] Ш.М. Коган. ЖЭТФ, 64, 1071, 1973.
- [4] Я.М. Пинский. ФТТ, 15, 1450, 1973.
- [5] S.J. Buchsbaum, G.E. Smith. Phys. Rev. Lett., 9, 342, 1962.
- [6] М.С. Хайкин, С.Ф. Семенчинский. Письма в ЖЭТФ, 15, 81, 1972.
- [7] Л.А. Фальковский. УФН, 94, 1, 1968.
- [8] T. Umada. J. Phys. Soc. Japan, 20, 1647, 1965.
- [9] L. Esaki. Phys. Rev. Lett., 8, 4, 1962.